

ПЕРЕСТРОЙКА ЭНЕРГЕТИЧЕСКОЙ СТРУКТУРЫ
АВТОЛОКАЛИЗОВАННЫХ ЭКСИТОНОВ В КРИСТАЛЛАХ CsI И RbI
ПОД ДЕЙСТВИЕМ ГИДРОСТАТИЧЕСКОГО ДАВЛЕНИЯ

А.И.Кузнецов, А.И.Лайсаар, В.С.Щербаков

Обнаружено изменение знака барического сдвига и резкое падение интенсивности полосы фотолюминесценции автолокализованных экситонов (ФЛ АЛЭ) в CsI в области 8 кбар. Предполагается, что это связано с инверсией излучательных состояний АЛЭ. В RbI обнаружено исчезновение ФЛ синглетных АЛЭ при фазовом переходе $O_h^5 \rightarrow O_h^1$.

Автолокализация экситонов имеет место во многих кристаллах и является причиной таких явлений, как изменение подвижности экситонов и процесса переноса ими энергии, рождение радиационных дефектов, выделение тепла и др.^{1,2}. Внешнее давление, изменяя зонную структуру кристалла, может влиять как на процессы автолокализации экситонов, так и на сами автолокализованные состояния. В последнее время интерес к исследованию влияния давления на автолокализованные экситоны (АЛЭ) возрос в связи с предполагаемой нестабильностью АЛЭ в условиях сжатия кристалла^{3,4}. Возможность влияния на свойства АЛЭ внешним давлением может открыть перспективу управления некоторыми свойствами кристаллов.

В данной работе в качестве объектов исследования были выбраны кристаллы йодистого цезия CsI со структурой типа $CsCl(O_h^1)$ и йодистого рубидия RbI со структурой $NaCl(O_h^5)$. В первом из них с помощью относительно невысоких гидростатических давлений ($P < 10$ кбар) удается произвести кардинальную перестройку спектра (отражения) свободных экситонов⁵, а

во втором при $P \approx 4$ кбар происходит фазовый переход $O_h^5 \rightarrow O_h^1$. Оба эти обстоятельства повышают эвристическую ценность экспериментов с давлением.

Мы исследовали влияние всестороннего сжатия в газовой (гелиевой) среде до 11 кбар при $T = 80$ К на полосы фотолюминесценции (ФЛ) АЛЭ в CsI с $E_{max} = 3,65$ эВ^{6,7} и в RbI с $E_{max} = 3,9$; 3,0 и 2,3 эВ⁸, а для сравнения также на полосу ФЛ связанных экситонов в кристалле CsI – Na⁹. Образцы сжимались в оптической камере с лейкосапфировыми окнами, окруженной жидким азотом; давление в камере создавалось гелиевым компрессором на 15 кбар¹⁰. Для регистрации спектров ФЛ использовались монохроматор МДР-23 и ФЭУ-106 с системой счета фотонов. Возбуждение ФЛ осуществлялось дейтериевой лампой ЛД(Д) через подходящие светофильтры.

Для возбуждения ФЛ АЛЭ в CsI и RbI использовался участок спектра 5,5–6,1 эВ, в пределах которого находятся три полосы (отражения) свободных экситонов ($n = 1$) при 5,76; 5,90 и 5,97 эВ в CsI⁵ и полоса свободных экситонов ($n = 1$) при 5,7 эВ в RbI. Отдельными измерениями спектров возбуждения ФЛ АЛЭ в CsI было установлено, что при давлениях до ≈ 9 кбар полосы возбуждения практически совпадают с полосами отражения как по положениям, так и по барическим сдвигам. Для определения области возбуждения RbI были измерены спектры отражения при P до 10 кбар.

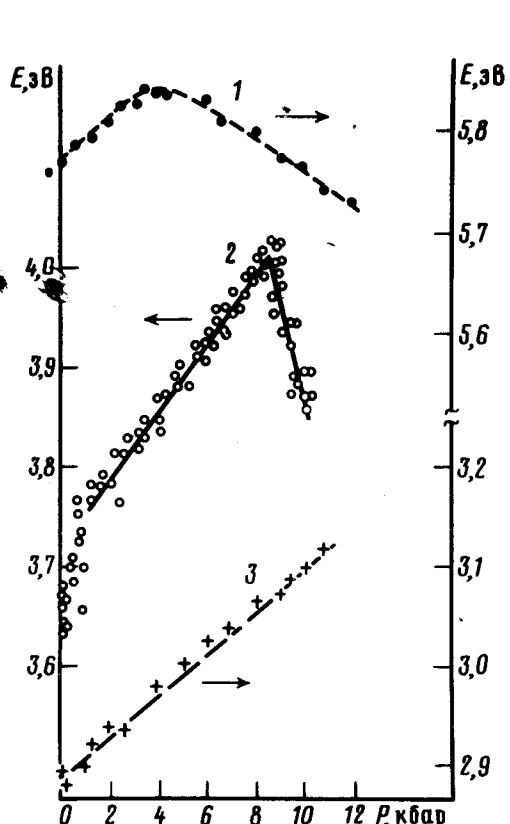


Рис. 1

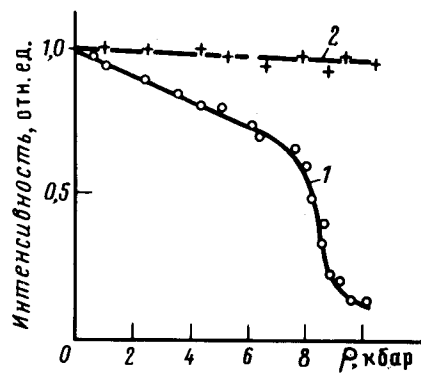


Рис. 2

Рис. 1. Барическая зависимость положения максимумов экситонных полос в кристаллах CsI при $T = 80$ К и CsI – Na при $T = 295$ К: 1 – длинноволновая полоса отражения свободных экситонов в CsI⁵; 2 – полоса люминесценции аутолокализованных экситонов в CsI; 3 – полоса люминесценции связанных экситонов в CsI – Na

Рис. 2. Интенсивность полос экситонной люминесценции в зависимости от давления: 1 – аутолокализованные экситоны в CsI ($T = 80$ К); 2 – связанные экситоны в CsI – Na ($T = 295$ К)

Рис. 1 и 2 иллюстрируют основные результаты по поведению спектров ФЛ АЛЭ в CsI. Видно (рис. 1, кривая 2), что максимум полосы ФЛ при 3,65 эВ смещается с ростом давления до $\sim 8,5$ кбар в коротковолновую сторону со скоростью 36 ± 1 мэВ/кбар в диапазоне 1–8,5 кбар, затем наблюдается резкий длинноволновый сдвиг с коэффициентом -70 ± 10 мэВ/кбар¹.

¹⁾ Насколько нам известно, это наибольшие скорости барических сдвигов, которые когда-либо наблюдались в спектрах люминесценции.

В области 8 кбар происходит также резкое падение интенсивности ФЛ (рис. 2, кривая 1), вследствие чего спектральные измерения при $P > 8$ кбар менее точны и надежны из-за возможного влияния посторонних свечений. В то же время в диапазоне давлений $0 \div 7,5$ кбар интенсивность ФЛ изменяется значительно медленнее, уменьшаясь на $\sim 30\%$. Отметим, что оба эффекта — смена направлений сдвига и резкое падение интенсивности полосы ФЛ АЛЭ в диапазоне $7,5 \div 9$ кбар — полностью обратимы с давлением.

На рис. 1 (кривая 1) по данным⁵ показана также барическая зависимость энергии самого низкого уровня свободных экситонов $E_{\text{своб}}^1$ в CsI, который является "стартовым" в процессе их автолокализации. Область перегиба этой кривой при $P = 3,5 \div 6$ кбар соответствует области, где электронный компонент волновой функции экситонов меняется с *s*-типа ($P \leq 5$ кбар) на *d*-тип, причем полная симметрия состояний свободных экситонов (Γ_{15}) сохраняется⁵.

Из рис. 1 видно, что изменения состояний свободных экситонов и АЛЭ не связаны жестко между собой: в области немонотонного изменения $E_{\text{своб}}^1$ (кривая 1) полоса ФЛ АЛЭ смещается монотонно (кривая 2) и наоборот. По-видимому, это связано с тем, что в условиях достаточно высокой температуры наших опытов ($T = 80$ К) изменение при $P \approx 5$ кбар внутренней структуры свободного экситона, имеющего в состоянии $n = 1$ малый радиус, не влияет на процесс термоактивированного преодоления автолокационного барьера (АЛБ)². В то же время плавное падение интенсивности ФЛ АЛЭ в области давлений $0 \div 7,5$ кбар (рис. 2, кривая 1) может быть связано с уменьшением вероятности преодоления АЛБ из-за возможного возрастания ширины экситонной зоны B при сжатии кристалла, поскольку высота барьера w возрастает с ростом B . В пользу такого объяснения говорит факт, что при прямом возбуждении ФЛ связанных экситонов в CsI – Na ($E_{\text{возб}} \approx 5,0$ эВ, $E_{\text{изл}} \approx 2,9$ эВ), когда не требуется преодоление АЛБ, эффект уменьшения интенсивности отсутствует (рис. 2, кривая 2).

Сказанное выше, а также сам характер резкости изменений ФЛ АЛЭ указывает на то, что при $P \approx 8,5$ кбар происходит перестройка энергетической структуры АЛЭ в CsI. Согласно модели⁶ полная волновая функция АЛЭ в CsI строится из *5p*-состояний двух анионов Γ_1^- , образующих V_k -центр, и *6s*- и *5d*-состояний, окружающих его четырех катионов Cs^+ . Последние дают нижайшие по энергии состояния Γ_1^+ (*s*-типа) и Γ_3^+ (*d*-типа) электронов в АЛЭ и обуславливают два типа АЛЭ с соответствующими нижайшими триплетными излучательными уровнями ${}^3\Gamma_2^-$ и ${}^3\Gamma_4^-$. Предполагается, что эти уровни весьма близки по энергии. Полоса ФЛ АЛЭ в CsI $E_{\text{max}} = 3,65$ эВ соответствует переходам с нижнего ${}^3\Gamma_2^-$ уровня.

По аналогии со свободными экситонами в CsI⁵ можно предположить, что под действием давления *s*- и *d*-состояния электронов и соответствующие им ${}^3\Gamma_2^-$ и ${}^3\Gamma_4^-$ состояния АЛЭ сближаются по шкале энергий, и при $P \approx 8,5$ кбар происходит их инверсия. Это приводит к резким изменениям характеристик АЛЭ, так как люминесценция с ${}^3\Gamma_4^-$ уровня при $T = 80$ К потушена⁷. Для связанных экситонов в CsI – Na, пространственная и энергетическая структура которых отличается от структуры АЛЭ, перестройка не наблюдается (рис. 1, кривая 3). Сдвиг полосы ФЛ составляет в этом случае 21 ± 1 мэВ/кбар.

В спектрах ФЛ АЛЭ в RbI мы наблюдали: 1) разгорание с ростом давления полосы ФЛ при 2,6 эВ, связываемой с α -центрами⁸; 2) исчезновение ФЛ синглетных АЛЭ с $E_{\text{max}} = 3,9$ эВ, при $P > 4$ кбар (после фазового перехода $O_h^5 \rightarrow O_h^1$) и ее восстановление после снятия давления ($O_h^1 \rightarrow O_h^5$). Последний эффект подтверждает теоретический вывод⁶ о том, что в структуре типа CsCl(O_h^1) излучательный переход с определенного синглетного уровня АЛЭ может быть запрещен.

Благодарим Ч.Б.Лущика и Г.С.Завта за обсуждения работы.

²⁾ Высота АЛБ в CsI неизвестна, но, по-видимому, она мала, так как при $T = 80$ К люминесценция свободных экситонов полностью потушена¹¹.

Литература

1. Lushchik Ch.B. In: Excitons, ed E.I.Rashba, M.D.Sturge. North-Holland, Amsterdam, 1982, p. 505.
2. Rachba E.I. In: Excitons, ed E.I.Rashba, M.D.Sturge, North-Holland, Amsterdam, 1982, p. 543.
3. Kobayashi M., Ohno Y., Endo S., Cho K., Narita S. Physica, 1983, 117-118B, 272.
4. Kobayashi M., Kawamura T., Endo S., Cho K., Narita S. Solid State Comm., 1983, 48, 33.
5. Кузнецов А.И., Лайсаар А.И., Щербаков В.С., Завт Г.С. Письма в ЖЭТФ, 1984, 40, 145.
6. Iida T., Nakaoka Y., von der Weid J.P., Aegerter M.A. J. Phys. C: Solid St. Phys., 1980, 13, 983.
7. Pellaux J.P., Iida T., von der Weid J.P., Aegerter M.A. J. Phys. C: Solid St. Phys., 1980, 13, 1009.
8. Hattori A., Tomura M., Fujii O., Nishimura H. J. Phys. Soc. Japan, 1976, 41, 194.
9. Hsu O.L., Bates C.W. Phys. Rev. B, 1977, 15, 5821.
10. Буйновски В., Поровски С., Лайсаар А.И. ПТЭ, 1973, № 1, 224.
11. Nishimura H., Ohhigashi C., Tanaka Y., Tomura M. J. Phys. Soc. Japan, 1977, 43, 157.

Институт физики

Академии наук Эстонской ССР

Поступила в редакцию

23 октября 1985 г.